

~ Photo 27

La direction de ces vents aurait dû amener les poussières de débris radioactifs vers la Serbie, la Bosnie, la Bulgarie, la Roumanie, l'Ukraine, la Hongrie, la Pologne, la Slovaquie, etc. Dans plusieurs de ces pays, il existe d'autres stations de détection de rayonnements qui n'ont détecté aucune variation au-delà de la limites de sécurité du niveau radioactif. Il s'agit d'un indice important qui confirme que le DPE a réussi à neutraliser les radiations avant qu'elles n'atteignent ces pays.

On sait que le DPE est capable d'équilibrer le milieu jusqu'à 200 km d'altitude, mais comment s'opère cet équilibre ?

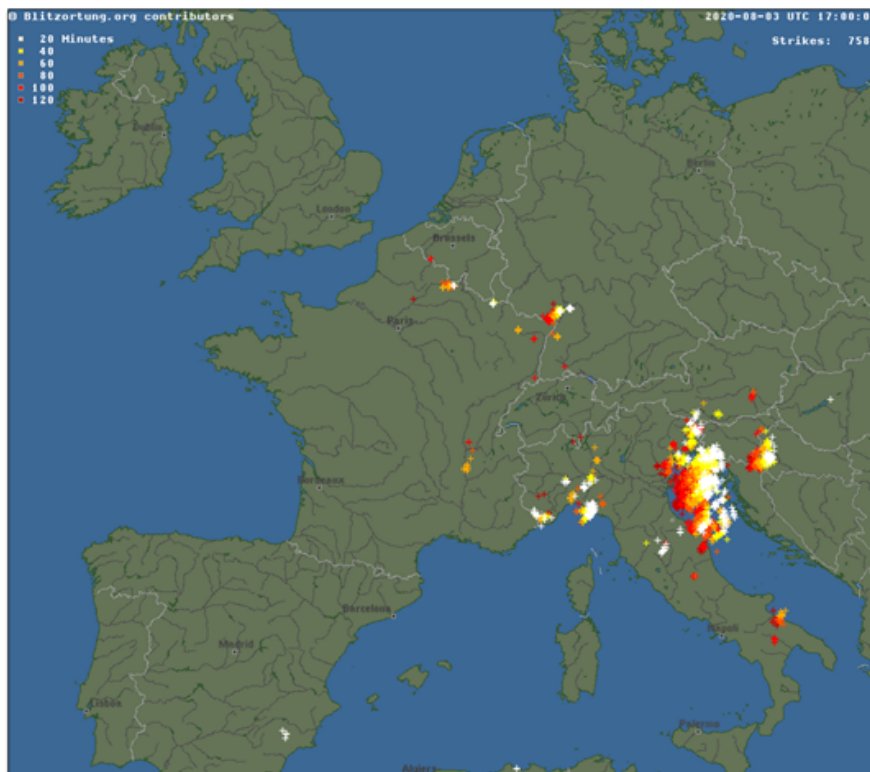
Les rayonnements ionisants sont des cellules d'énergie solaire défectueuses qui, grâce à un processus d'interaction de l'énergie émise par le DPE depuis la Terre, corrigent les cellules d'énergie solaire défectueuses en cellules saines, à savoir le plasma.

Cet excès de plasma est ensuite rejeté vers le sol par la foudre. En fait, la foudre est une colonne de gaz ionisé (plasma).

Si tel était le cas, nous aurions dû avoir une activité de foudre modérée ou nulle dans la zone d'action du DPE dans les jours précédant le 04 août 2020, puis des éclairs intenses pendant la

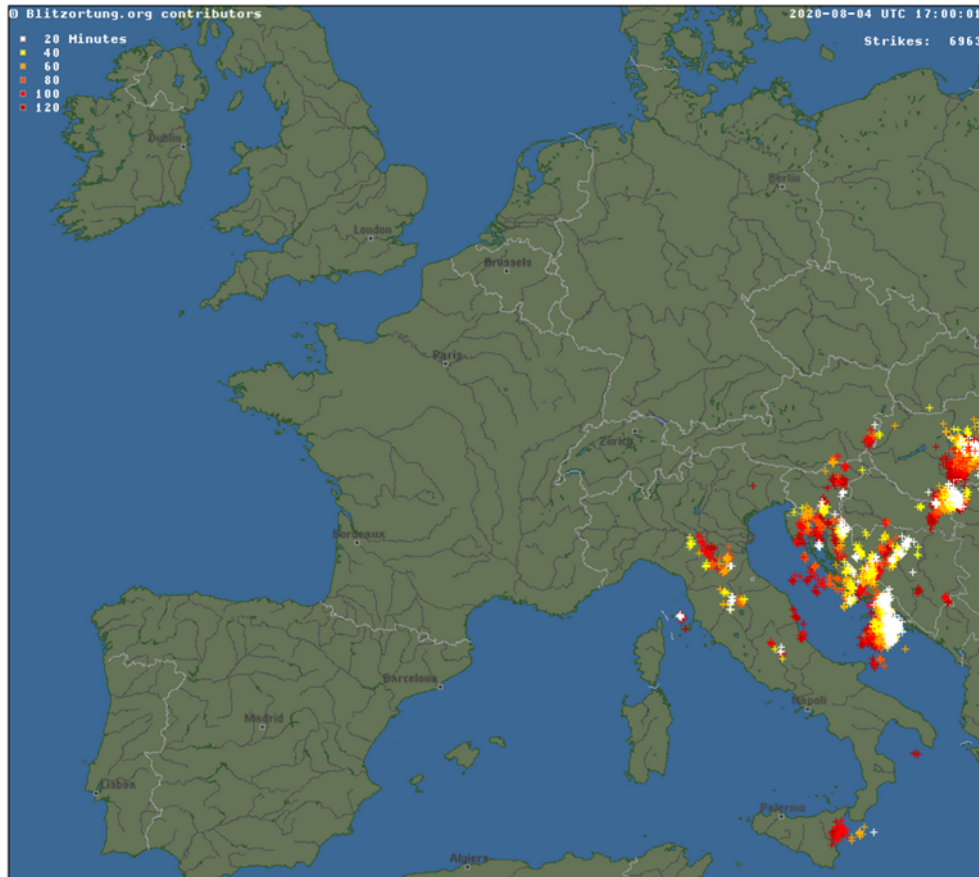
présence et décharge de rayonnement, puis à nouveau une activité de foudre modérée ou inexistante après neutralisation du rayonnement.

Cette image ci-dessous (Photo 28) date du 3 août 2020 à 17h00 UTC et représente l'activité de foudre enregistrée.



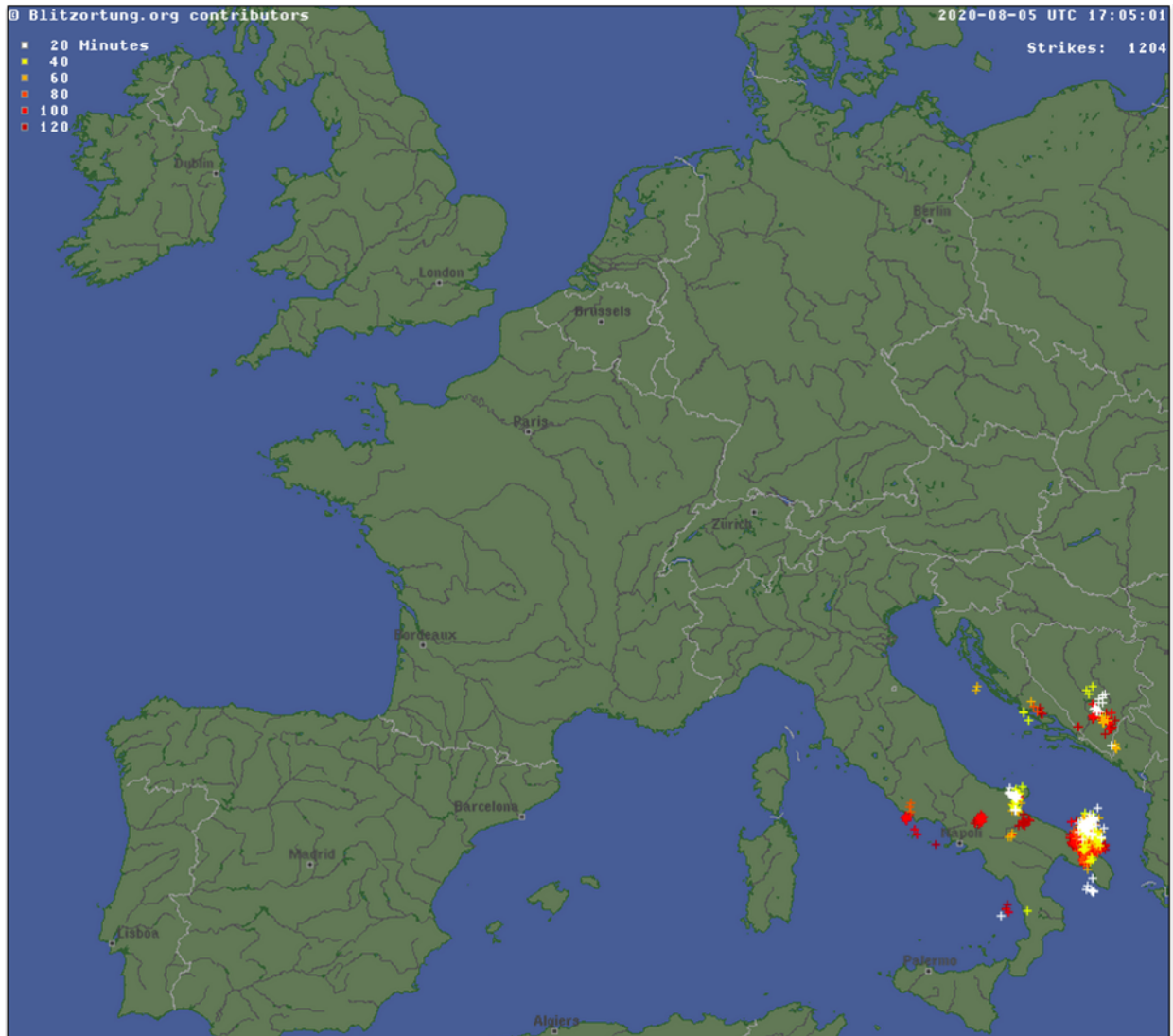
~ Photo 28

L'image suivante (Photo 29) date du 4 août 2020 à 17h00 UTC et montre l'activité de foudre enregistrée. Il convient de noter que les Pouilles sont libres et auraient dû le rester, étant donné que le front de tempête se déplaçait vers l'est.



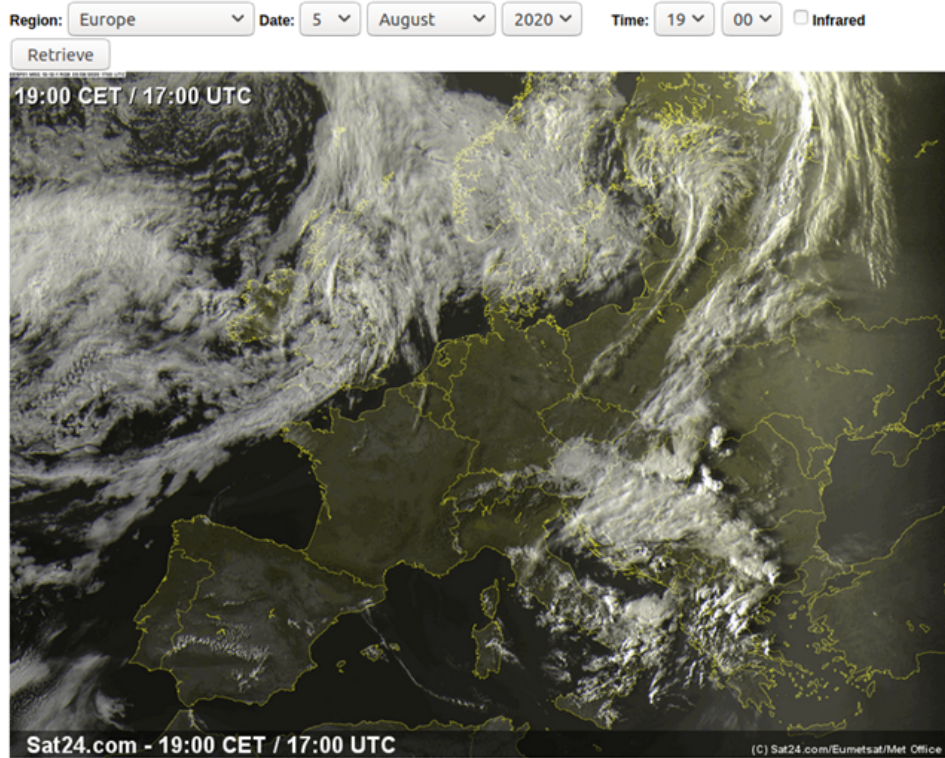
~ Photo 29

L'image suivante ci-dessous (Photo 30) date du 5 août 2020 à 17h05 UTC et représente l'activité de foudre enregistrée. L'intense activité éclair enregistrée dans la zone DPE est bien visible.



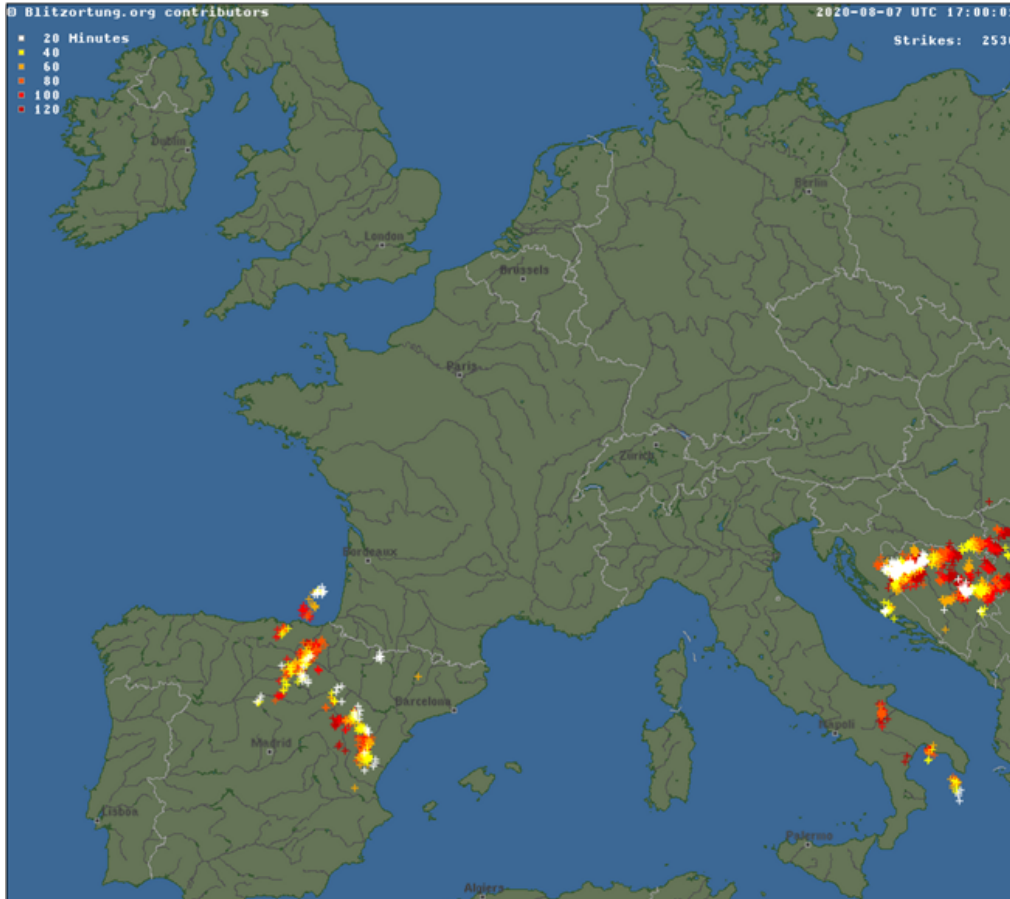
~ Photo 30

Nous avons également fait une comparaison avec les conditions météorologiques de l'époque, montrées dans l'image ci-dessous (Photo 31) et elles ne justifient pas l'intensité de l'activité éclair montrée, surtout par rapport au front dans le reste de l'Italie.



~Photo 31

Et une fois le rayonnement déchargé, l'équilibre a été rétabli et l'activité de la foudre s'est arrêtée. (Photo 32)



~ Photo 32

J'ai effectué quelques mesures sur place avec mon compteur Geiger et les paramètres le 7 août 2020 à 17h00 UTC étaient normaux.

Depuis l'installation du DPE, nous avons toujours été scrupuleux dans la détection de chaque anomalie et ce sont celles-ci qui ont révélé les preuves décrites ci-dessus.

Depuis l'installation du DPE, nous avons constaté une réduction drastique de la puissance et du nombre de coups de foudre, car nous avons vérifié que le DPE draine l'excès d'énergie, ne permettant pas une accumulation dangereuse.

Nous étions donc habitués à voir des éclairs d'orage limités au loin.

Cependant, dans les jours décrits ci-dessus, de nombreux éclairs se sont produits dans la zone et un même dans un ciel dégagé à quelques kilomètres du DPE.

Cela n'avait aucun sens, mais nous avons découvert plus tard pourquoi...

Un autre détail important est visible sur les photos de l'activité éclair enregistrées le 3 août 2020 à 17h00 UTC et celle du 4 août 2020 à 17h00 UTC. Si vous regardez les photos, le front de foudre se déplace progressivement vers l'est.

Sur les photos de l'activité éclair du 05 août 2020 à 17h05 UTC et celle du 06 août 2020 à 17h05 UTC, l'éclair est littéralement "apparu" puis a disparu le lendemain, sans passer à d'autres zones, ce qui nous indique que cet éclair est pas causé par une tempête.

Nous avons également effectué des recherches plus approfondies pour voir si d'autres stations d'enquête entre la Sicile et les Pouilles avaient enregistré d'autres valeurs mais, malheureusement, aucune station n'est présente dans cette zone. En revanche, les autres stations exploitées sous le vent au-delà des Pouilles n'ont pas enregistré de changements au-delà de la limite de sécurité des radiations et, au 16 août, les niveaux restent faibles dans diverses parties de l'Europe du Nord (Västerbotten,

Suède ; Sarre, Allemagne ; Drenthe, Pays-Bas ; etc.)

Ce n'était pas le seul événement, mais il s'est également reproduit lorsqu'au moins 8 explosions nucléaires de petite et moyenne puissance se sont produites à Khemlnitsky (Ukraine) du 13 au 28 mai 2023 dans plusieurs endroits voisins.

(<https://www.saveecobot.com/en/radiation-maps#15/51.3879/30.1063>)

14) Moins de gelées et de sécheresses et moins de dégâts

Lorsque l'eau gèle, les protons chargés positivement et les électrons chargés négativement se séparent. Les cristaux de glace gelés s'électrifient à mesure que le sommet du givre devient plus chaud que le bas. Cela provoque le déplacement des ions chargés de haut en bas (du chaud au froid), mais il s'avère que les ions positifs peuvent migrer plus rapidement. **Le haut du givre finit par être chargé négativement tandis que le bas est chargé plus positivement, un concept connu sous le nom de séparation des charges. (33)**

Dans le paragraphe :2)Réduction du rayonnement solaire, notamment des rayons ultraviolets et du rayonnement cosmique nous avons décrit que certains matériaux photoélectriques sensibles tels que les métaux, l'eau, la glace et les plantes peuvent également provoquer un effet photoélectrique et libérer des électrons, même si aucun rayonnement ultraviolet à ondes courtes n'est appliqué. Les électrons se combinent ensuite avec les molécules de l'air pour former des NAI (Negative Air Ions) (17).

Les ions négatifs de l'air attirent les positifs et les neutralisent avant qu'ils ne tombent au sol, réduisant ainsi le phénomène de gel.

Les ions positifs qui parviennent à se déposer sont « attirés vers le haut par les ions négatifs », les particules de givre se détachant de leur substrat et sautant constamment vers les ions négatifs, les faisant fondre. Le processus scientifique est décrit ci-dessous. (Photo 33)(34)

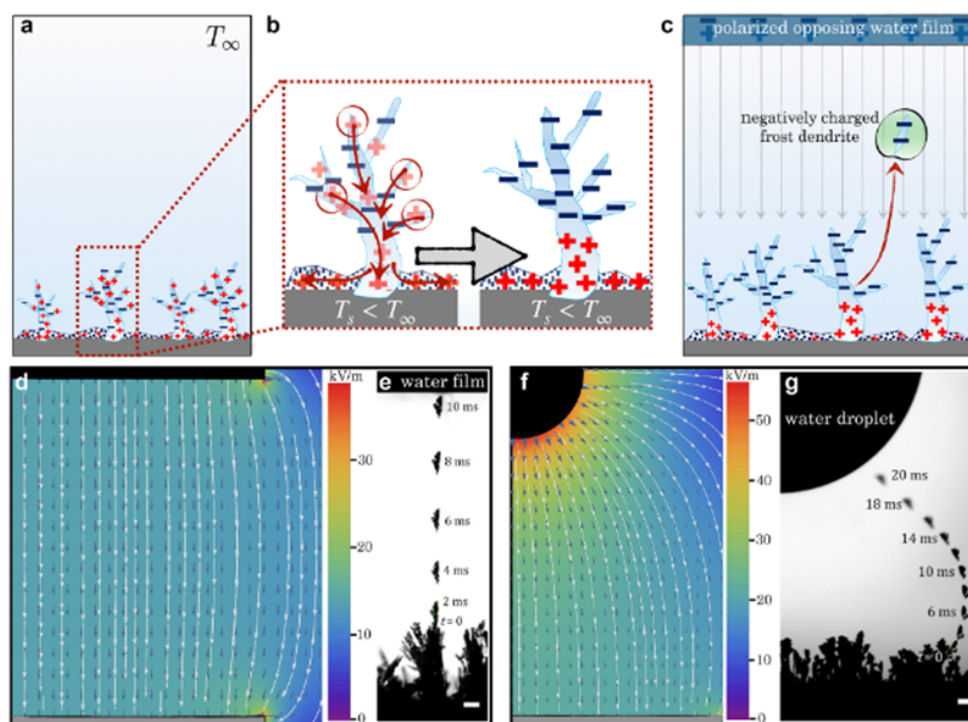


Figure 3. Origin of the attractive force on the frost dendrites. (a) Initial (nanoscale) frost exhibits a roughly uniform temperature and distribution of ions (defects) within the dendrites. (b) As the frost dendrites grow to a microscale, $T_{top} > T_{bottom}$, such that ions are more concentrated in the warmer upper dendrites. Positive ions then diffuse to the lower concentration basal frost at a much higher mobility than the negative ions. (c) This charge separation enables the fracture and jumping of frost in the presence of an opposing polarizable liquid. (d) Numerical simulation showing that, when the frost and opposing water film are both planar, the electric field is uniform. (e) This results in a straight trajectory and constant terminal velocity for jumping frost particles, validated here by chronophotography, where the particle consistently travels $\sim 300 \mu\text{m}$ every 2 ms at terminal velocity to cross the 2.5 mm gap. (f) Numerical simulation showing that, when frost is now opposite a pendant droplet (*i.e.*, plate and sphere configuration), the electric field is nonuniform with curved field lines. (g) Chronophotography (successive position of the dendrite temporally separated by 2 ms) confirms a curved trajectory for a jumped dendrite opposite a water droplet, where the sudden increase in acceleration near the droplet is confirmed by increased distance between successive positions. Both scale bars represent $100 \mu\text{m}$.

~Photo 33

Les dégâts causés par la sécheresse sont fortement réduits au minimum car comme il est nécessaire d'avoir de l'eau ou de la pluie pour décomposer les engrais dans le sol et ainsi fournir aux plantes le courant nécessaire à leur vitalité, le DPE Agriculture fournit ce courant lentement, mais continuellement. , et intègre donc la pluie tout comme elle intègre les engrais. De même, la végétation poussant sur un sol électromagnétique est immunisée contre la pourriture provoquée par de fortes pluies, puisque les germes de pourriture ne peuvent pas se développer au contact du courant électrique.

Ce processus est amplifié par une plus grande humidité provenant du sol, qui était recouvert dans la rubrique :*Réduire de moitié la quantité d'eau d'irrigation au bénéfice d'une plus grande humidité, mais aussi réduire de moitié la consommation électrique des pompes d'irrigation.*



Essais

Des mesures ont été effectuées sur l'émission d'ions négatifs et positifs. Ces mesures ont été réalisées à la fois sur le DPE Agriculture et à une distance d'environ 20 mètres du DPE Agriculture en plein champ.

Nous avons donc mesuré que dans le DPE Agriculture, il se produit un échange alterné entre l'émission d'ions négatifs et l'absorption d'ions positifs.

Dans les vidéos de test, il est possible de voir des effondrements de lectures, tant sur les ions négatifs que positifs, pendant les mesures qui expliquent exactement cette dynamique, fondamentale pour un équilibre entre l'absorption des charges électrostatiques et la régénération de la magnétosphère au-dessus de la zone. du DPE Agriculture.

Ce sont les mesures des Ions Négatifs de l'Air émis par un potager situé à environ 20 mètres du DPE Agriculture.(Photo 34)



~ Photo 34